

## Mantelzell-Lymphom

### Fall

74-jähriger Patient mit Schwellung des rechten Augenlides und tastbaren bis 2 cm großen Lymphknoten am Hals. **Abb. 1a** B-Bild (6–15 MHz) des rechten Auges: echoarme Schwellung des Augenlides, im Bulbus ist eine Kunstlinse erkennbar. **Abb. 1b** Im Farbdoppler ist die tumoröse Lidschwellung stark vaskularisiert. **Abb. 1c** zeigt zusätzlich die seitliche Lidschwellung mit der zuführenden Arterie. Dorsal des Augenbulbus ist der N. opticus als echoarmes Band mit der A. und V. centralis retinae dargestellt. **Abb. 1d** Sonografisch geführte Biopsie (Tru-Cut, 1,6 mm) eines Hals-Lymphknotens zur Diagnosesicherung.

### Diagnose

Die Lymphknotenstanzbiopsie zeigt Infiltrate eines niedrig malignen Non-Hodgkin-Lymphoms der B-Zell-Reihe in der klassischen Variante eines Mantelzell-Lymphoms.

K. Seitz

## Mantle cell lymphoma

### Case

74-year-old patient with swelling of the right eyelid and palpable neck lymph nodes up to 2 cm in size. **Fig. 1a** B-mode image (6–15 MHz) of the right eye: hypoechoic swelling of the eyelid; artificial lens visible in the bulb of the eye. **Fig. 1b** On color Doppler the tumorous swelling of the eyelid is highly vascularized. **Fig. 1c** additionally shows lateral swelling of the eyelid with the afferent artery. Dorsal to the bulb of the eye, the optic nerve is visualized as a hypoechoic band with the central retinal artery and vein. **Fig. 1d** Ultrasound-guided biopsy (Tru-Cut, 1.6 mm) of a neck lymph node for diagnostic verification.

### Diagnosis

Core biopsy of the lymph node showed infiltrates of low-grade B-cell non-Hodgkin lymphoma in the classic presentation of mantle cell lymphoma.

K. Seitz

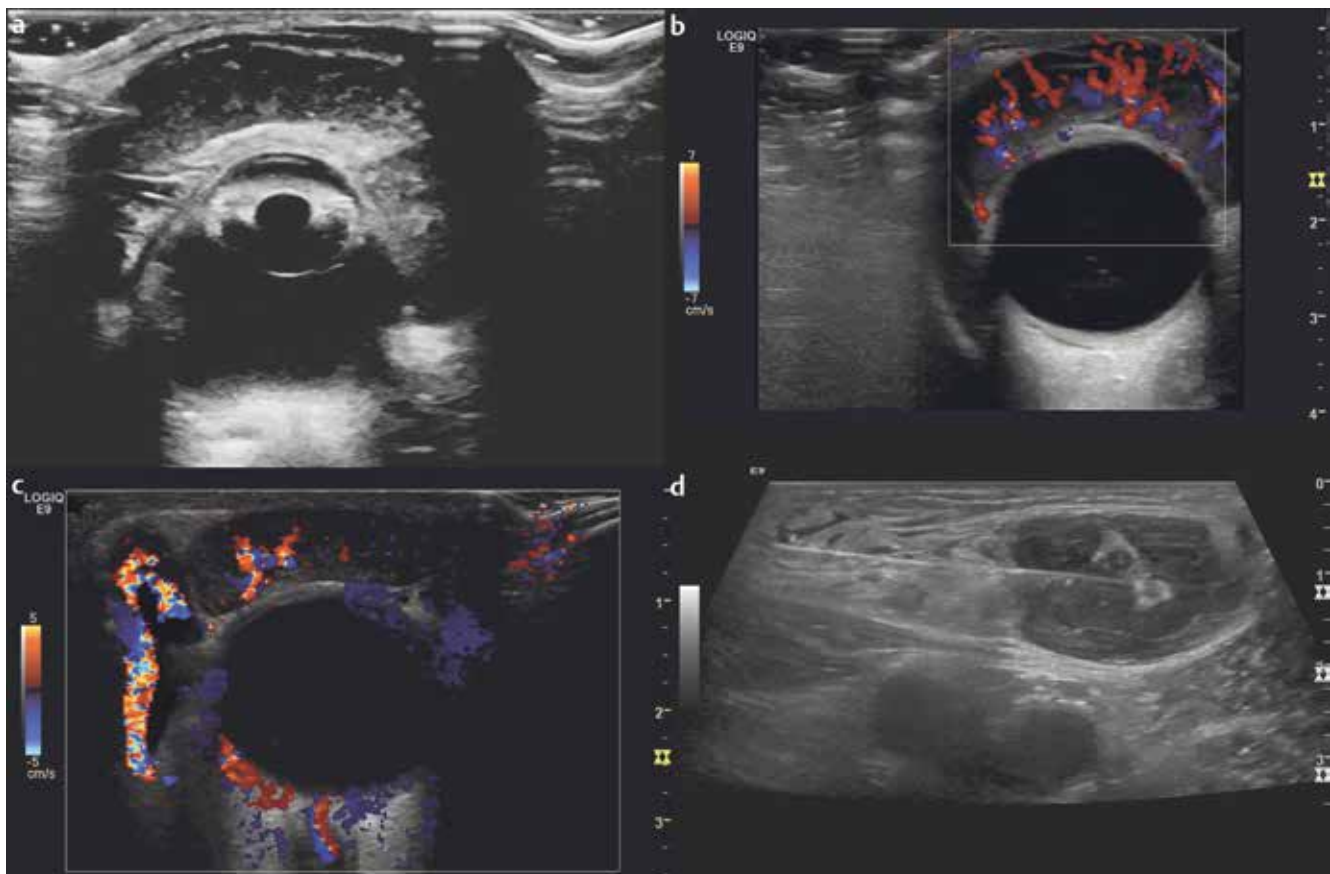


Abb. 1